

研究报告

亚硒酸钠对巨噬细胞内游离 Ca²⁺ 和 Mg²⁺ 的影响 *

温和瑞¹⁾ 王金晞²⁾ 朱卫华 李瑞延³⁾ 陈荣三

(南京大学配位化学研究所, 配位化学国家重点实验室, 南京 210093)

摘要 用单细胞阳离子测定系统研究了 SeO₃²⁻ 对巨噬细胞内游离 Ca²⁺ 和 Mg²⁺ 的影响。实验结果表明: SeO₃²⁻ 高于 10⁻⁴ mol/L 时, 有显著的细胞毒性。SeO₃²⁻ 对细胞的毒性作用使细胞内游离 Ca²⁺ 和 Mg²⁺ 的浓度升高但 Ca²⁺ 浓度的升高速率比 Mg²⁺ 快。还有, 高于 10⁻⁴ mol/L 的 SeO₃²⁻ 对红细胞膜上的 Ca²⁺-ATP 酶活性有明显抑制作用。

关键词 亚硒酸钠, 细胞毒性, 细胞内游离 Ca²⁺, 细胞内游离 Mg²⁺, Ca²⁺-ATP 酶

硒是生物体必需的微量元素, 它与人类的健康和疾病有很大的相关性^[1]。硒对肿瘤有抑制作用。克山病和大骨节病均与缺硒有关。研究表明, 亚硒酸钠有保护巨噬细胞免受石英粉尘毒性损伤的作用^[2]。因此, 硒化合物可能成为用来防治硅肺病的药物。亚硒酸钠虽然有保护细胞的作用, 但当硒的浓度超过一定值时对细胞却有很大的毒性作用^[3]。亚硒酸钠对巨噬细胞的毒性虽已有研究, 但对其作用机理还待进一步阐明, 这对于研究用硒化合物来防治硅肺病是很有意义的。近年来我们的研究发现毒物对细胞的毒性作用与生物体内 Ca²⁺ 浓度的变化密切相关^[4]。本文应用荧光试剂和单细胞阳离子测定系统研究了 SeO₃²⁻ 与离体肺泡巨噬细胞的作用过程中, SeO₃²⁻ 毒性作用与细胞内游离 Ca²⁺ 浓度和游离 Mg²⁺ 浓度的关系, 得到若干有意义的结果。

1 材料与方法

1.1 仪器与试剂

AR-CM-MIC 型单细胞离子测定系统 (美国, SPEX 公司), AFX-DX 型倒置荧光显微镜

(日本, Nikon 公司), 1815 TC 型 CO₂ 培养箱 (美国, Shelter 公司), Fura-2/AM, Mag-Fura-2/AM, Ionomycin, RPMI 1640 干粉剂均购自美国 Sigma 公司。Na₂SeO₃ (A. R.), N-2-羟乙基哌嗪-N'-2'-乙烷磺酸 (HEPES, 生化试剂)。其他的试剂为 A. R., 所有溶液均用重蒸水配制。

1.2 细胞悬液的制备

家兔 (2~3 kg, 性别不拘) 股动脉放血处死, 用 0.9% 的灭菌生理盐水经肺灌洗获得肺泡巨噬细胞。用 RPMI 1640 培养液或 HEPES 缓冲液配成 4×10⁸~5×10⁸ 个/L 的细胞悬液备用。HEPES 缓冲液的组成为: NaCl 140 mmol/L, KCl 4.7 mmol/L, CaCl₂ 1.2 mmol/L, MgCl₂ 1.2 mmol/L, 葡萄糖 10 mmol/L, HEPES 10 mmol/L, 内含 0.2% 的灭活小牛血清, pH=7.4。

* 国家自然科学基金资助课题。

¹⁾ 广东师范学院化学系。

²⁾ 通讯联系人。

³⁾ 内蒙古民族师范学院化学系。

收稿日期: 1994-11-29, 修回日期: 1995-07-05

1.3 红细胞膜的制备

家兔股动脉放血，用肝素钠抗凝收集血液，3000 r/min 离心 30 min (0~4°C) 使红细胞沉淀。用 0.9% 的生理盐水洗涤细胞两次。在洗净的红细胞中，按 1:40 (体积比) 比例加入 0°C 的 10 mmol/L Tris-HCl (pH=7.4) 的低渗缓冲液。在 0°C 下放置 2 h，使红细胞完全溶血，然后 10 000 r/min (0~4°C) 离心机离心，使红细胞沉淀。重复洗涤 3 次，所得红细胞膜样品悬浮于 10 mmol/L Tris-HCl 缓冲液中，-18°C 下保存备用。

1.4 细胞存活率的测定

所有试剂在配制前均用紫外线照射灭菌消毒。实验操作均在超净室内进行。在 RPMI 1640 培养液的细胞悬液中加入不同浓度的 Na₂SeO₃，在 CO₂ 培养箱中 (37°C, 5% CO₂) 孵育不同时间，用台盼蓝染色法计数细胞存活率。

1.5 Ca²⁺-ATP 酶活性测定

红细胞膜悬液中加入不同浓度的 Na₂SeO₃ (蛋白含量 0.8~1 mg/L)，在 4°C 下放置 2 h 后，离心弃上清液。所得的细胞膜按文献 [5] 的方法测定 Ca²⁺-ATP 酶的活性。

1.6 细胞内游离 Ca²⁺ 和 Mg²⁺ 浓度的测定

细胞用 1 μmol / L 的 Fura-2/AM 负载 20 min (37°C, 5% CO₂)。1000 r/min 离心，弃上清液，细胞用 HEPES 缓冲液洗涤两次，洗去细胞外所附的荧光试剂。细胞用 HEPES 缓冲液配成 4×10⁸~5×10⁸ 个/L 细胞悬液，在悬液中加入不同浓度的 Na₂SeO₃。CO₂ 培养箱中孵育不同时间后，洗涤一次，然后在单细胞阳离子测定系统上测定单个细胞的荧光强度，激发波长分别为 340 nm 和 380 nm，发射波长为 505 nm。根据公式^[6]：

$$c(\text{Ca}^{2+})_i = k_d \beta (R - R_{\min}) / (R_{\max} - R)$$

计算 $c(\text{Ca}^{2+})_i$ 。式中 $k_d = 2.24 \times 10^{-7}$ mol/L。按文献[7]的方法测得 R_{\max} 、 R_{\min} 和 β 依次为 14.7 ± 0.84 (n=10)、0.62 ± 0.04 (n=12)、5.40 ± 0.46 (n=10)。R 为实测荧光比值 F_{340}/F_{380} 。

$c(\text{Mg}^{2+})_i$ 的测定：细胞用 4 μmol/L Mag-

Fura-2/AM 负载 30 min (37°C, 5% CO₂) 后，25°C 下放置 4 h，其他实验过程与 $c(\text{Ca}^{2+})_i$ 的测定相同^[8]。

$$c(\text{Mg}^{2+})_i = k_d \beta (R - R_{\min}) / (R_{\max} - R)$$

式中 $k_d = 1.5$ mmol/L。按文献[9]的方法测得 R_{\max} 、 R_{\min} 和 β 依次为 4.8 ± 0.52 (n=12)、0.68 ± 0.08 (n=12)、3.5 ± 0.44 (n=12)。

2 实验结果

2.1 细胞存活率

实验结果表明 (见表 1)，当介质中 SeO₃²⁻ 浓度为 10⁻³ mol/L 时，有很大的细胞毒性，孵育 4 h，细胞死亡 60% 以上。10⁻⁵ mol/L 的 SeO₃²⁻ 在短时间内对细胞无毒，当孵育时间增至 8 h 时表现出低毒。在实验时间内，10⁻⁶ mol/L 的 SeO₃²⁻ 无细胞毒性。

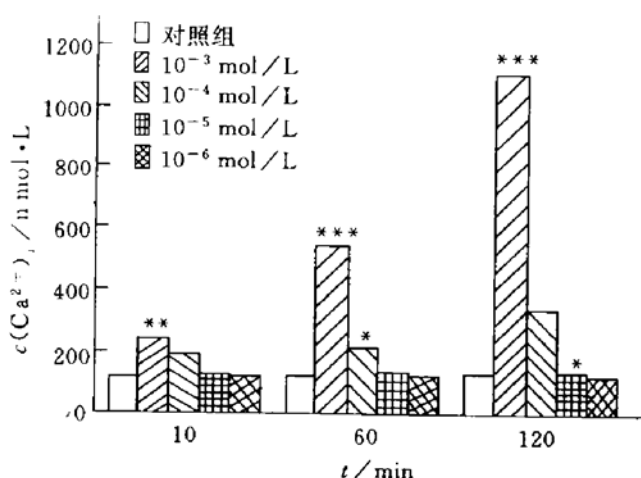
表 1 不同亚硒酸钠浓度中的巨噬细胞存活率

$c(\text{Na}_2\text{SeO}_3) / \text{mol} \cdot \text{L}^{-1}$	细胞存活率	
	4 h	8 h
0	91.3 ± 1.9	90.1 ± 2.3
10 ⁻³	38.7 ± 5.9 ¹⁾	20.5 ± 6.7 ¹⁾
10 ⁻⁴	72.8 ± 4.5 ¹⁾	59.1 ± 4.8 ¹⁾
10 ⁻⁵	87.3 ± 3.8 ²⁾	83.6 ± 5.4 ²⁾
10 ⁻⁶	92.8 ± 3.4 ³⁾	89.1 ± 3.1 ³⁾

注：±s, n=4. 1) 与对照组比较, P<0.001; 2) 与对照组比较, P<0.05; 3) 与对照组比较, 无显著性差异。

2.2 亚硒酸钠对 $c(\text{Ca}^{2+})_i$ 的影响

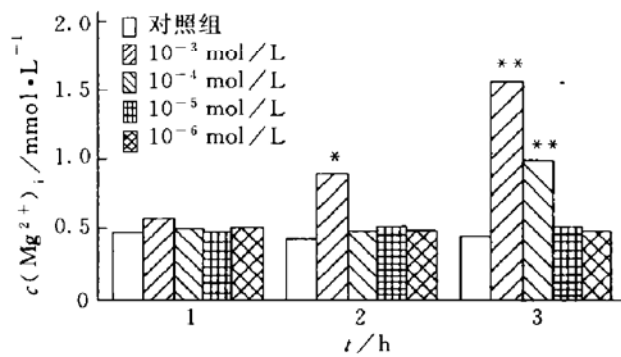
细胞悬液中加入不同浓度的 SeO₃²⁻，37°C 孵育不同时间后，测得 $c(\text{Ca}^{2+})_i$ (见图 1)。SeO₃²⁻ 的毒性作用，使 $c(\text{Ca}^{2+})_i$ 升高。SeO₃²⁻ 浓度越大，毒性越大， $c(\text{Ca}^{2+})_i$ 升高也越大。10⁻³ mol/L 的 SeO₃²⁻，孵育 10 min 时， $c(\text{Ca}^{2+})_i$ 显著升高 (P<0.01)。随着孵育时间的增长， $c(\text{Ca}^{2+})_i$ 升高越大。10⁻⁵ mol/L 和 10⁻⁶ mol/L 的 SeO₃²⁻，在实验时间内未观察到 $c(\text{Ca}^{2+})_i$ 有显著性变化。

图 1 Na_2SeO_3 对巨噬细胞 $c(\text{Ca}^{2+})_i$ 的影响

* 与对照组比较, $P < 0.05$; ** 与对照组比较, $P < 0.01$; *** 与对照组比较, $P < 0.001$.

2.3 亚硒酸钠对 $c(\text{Mg}^{2+})_i$ 的影响

图 2 所示是不同浓度的亚硒酸钠对 $c(\text{Mg}^{2+})_i$ 的影响。结果表明, SeO_3^{2-} 的毒性作用也使 $c(\text{Mg}^{2+})_i$ 升高, 但 $c(\text{Mg}^{2+})_i$ 的变化要比 $c(\text{Ca}^{2+})_i$ 的迟缓。孵育 1 h, 各组的 $c(\text{Mg}^{2+})_i$ 未出现显著性变化, 孵育时间增至 2 h, 10^{-3} mol/L 的 SeO_3^{2-} 组的 $c(\text{Mg}^{2+})_i$ 才出现显著性上升。 SeO_3^{2-} 增大和作用时间增长, $c(\text{Mg}^{2+})_i$ 升高越大。

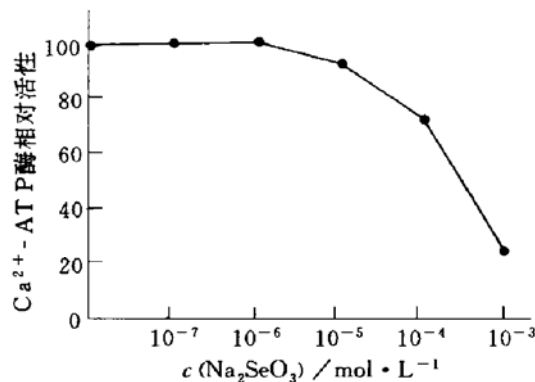
图 2 Na_2SeO_3 对巨噬细胞 $c(\text{Mg}^{2+})_i$ 的影响

* 与对照组比较, $P < 0.01$; ** 与对照组比较, $P < 0.001$.

2.4 亚硒酸钠对膜 Ca^{2+} -ATP 酶活性的影响

经不同浓度的 SeO_3^{2-} 处理过的红细胞膜的 Ca^{2+} -ATP 酶活性变化见图 3。 10^{-7} mol/L 和 10^{-6} mol/L 的 SeO_3^{2-} 对膜 Ca^{2+} -ATP 酶活

性无显著性的影响。 10^{-5} mol/L SeO_3^{2-} 对 Ca^{2+} -ATP 酶活性有轻微的抑制作用。当 SeO_3^{2-} 浓度增至 10^{-3} mol/L 时, Ca^{2+} -ATP 酶的活性被抑制 70% 以上。这表明 SeO_3^{2-} 对 Ca^{2+} -ATP 酶活性有抑制作用。

图 3 Na_2SeO_3 对 Ca^{2+} -ATP 酶活性的影响

3 讨 论

硒虽是生物体内必需的微量元素, 但当硒的摄入量超过一定限值时, 则有毒害作用。实验的结果表明, 当 SeO_3^{2-} 高于 10^{-4} mol/L 时, 有显著性毒性(见表 1); SeO_3^{2-} 的细胞毒性作用使细胞内游离 Ca^{2+} 浓度显著升高(见图 1); SeO_3^{2-} 对膜上 Ca^{2+} -ATP 酶活性产生抑制作用(见图 3)。Se 能取代细胞膜上 $-\text{SH}$ 和 $-\text{S}-\text{S}-$ 等基团中的 S^[10,11], 当 SeO_3^{2-} 浓度增大时, 使细胞膜上的 S 大量被 Se 取代, 从而导致细胞膜的结构和功能受到破坏。这种破坏作用可能造成细胞外 Ca^{2+} 内流^[12]。同时, SeO_3^{2-} 对膜 Ca^{2+} -ATP 酶活性的抑制, 降低了细胞主动运输 Ca^{2+} 的能力, 使胞内多余的 Ca^{2+} 不能得到有效的清除, 细胞内 Ca^{2+} 聚集越来越多, 造成胞内游离 Ca^{2+} 超载。当胞内 Ca^{2+} 持续处于超载状态下时, 会对细胞产生损伤作用^[13]。 SeO_3^{2-} 对细胞的毒性作用, 使 $c(\text{Mg}^{2+})_i$ 升高(图 2), 这可能与胞内 Ca^{2+} 代谢受阻有关。 $c(\text{Ca}^{2+})_i$ 的骤增可能刺激胞内结合 Mg^{2+} 的释放或是引起线粒体的破裂, 使线粒体内的 Mg^{2+} 释放到胞浆中^[14]。因此, SeO_3^{2-}

对细胞的毒性作用可能是由于 SeO_3^{2-} 与细胞膜的作用破坏了细胞膜的结构和 Ca^{2+} 的调控机制，最后导致细胞崩解死亡。

参 考 文 献

- 1 Shamberger R J. In: Friden E ed. Biochemistry of selenium. New York and London: Plenum Press, 1983: 31
- 2 Gabor S, Ciugudeanu M, Surcel D. Environ Res, 1985; **37**: 293
- 3 Fisher G L, McNeill K L, Democko C J. Environ Res, 1986; **39**: 164
- 4 Ling J, Wen H R, Chen R S et al. In: Anastassopoulou J eds. Metal ions in biology and medicine. Paris: John Libbey Eurotext, 1992; **2**: 295
- 5 Colvin R A, Ashavaia T F, Herbette L G. Biochem Biophys Act, 1985; **821**: 601
- 6 Grynkiewicz G, Poenie M, Tsien R Y. J Biol Chem, 1985; **260**: 3440
- 7 McDonough P M, Button D C. Cell Calcium, 1989; **10**: 171
- 8 Murphy E, Freudenrich C C, Levy L A et al. Proc Natl Acad Sci USA, 1989; **86**: 2981
- 9 Raju B, Murphy E, Levy L A et al. Am J Physical, 1989; **256**: C540
- 10 Holker K J, Speakman J B. J Appl Chem, 1958; **8**: 1
- 11 Jenkins K J, Hidioglou M. Can J Biochem, 1971; **49**: 468
- 12 温和瑞, 王金唏, 陈荣三等. 无机化学学报, 1993; **9** (3): 266

- 13 Nayler W G. European Heart J, 1983; **4** (suppl. c): 33
- 14 张祖煊, 陈荣三. 科学通报, 1979; **24**: 471

Effects of Sodium Selenite on Cytoplasmic Free Ca^{2+} and Mg^{2+} of Alveolar Macrophages.
Wen Herui, Wang Jinxi, Zhu Weihua, Li Ruiyan, Chen Rongsan (Coordination Chemistry Institute, State Key Laboratory of Coordination Chemistry, Nanjing University, Nanjing 210093, China).

Abstract Cytoplasmic free Ca^{2+} and Mg^{2+} concentration ($c(\text{Ca}^{2+})_i$ and $c(\text{Mg}^{2+})_i$) of alveolar macrophages in rabbit lung after incubation with sodium selenite were determined by SPEX AR-CM-MIC system. The results showed that high concentration sodium selenite ($\geq 10^{-4}$ mol/L) had the cytotoxicity. The poisonous effect of selenite on macrophage led to the increase of $c(\text{Ca}^{2+})_i$ and $c(\text{Mg}^{2+})_i$. High concentration selenite had some suppressive effect on the Ca^{2+} -ATPase activity of erythrocyte membrane.

Key words sodium selenite, cytotoxicity, cytoplasmic free Ca^{2+} , cytoplasmic free Mg^{2+} , Ca^{2+} -ATPase

反义 c-fos 和 c-jun 抑制 IL-1 诱导阿片肽分泌 *

王朝晖 单巍松 吴希如

(北京医科大学第一临床医学院, 北京 100034)

摘要 白细胞介素-1 (IL-1) 及阿片肽作为神经调质参与了神经细胞兴奋性毒性作用。以大鼠大脑皮层神经细胞为研究对象, 探讨了 IL-1、阿片肽和 c-fos、c-jun 表达产物之间的关系。结果表明, IL-1 β 能诱导大脑皮层神经细胞 c-fos、c-jun mRNA 瞬时短暂表达, 15 min 增高, 30 min 达高峰, c-fos mRNA 2 h 回至基线水平, c-jun mRNA 8 h 回至基线水平; 联合应用 c-fos、c-jun 反义寡核苷酸能部分抑制 IL-1 诱导的大脑皮层神经细胞脑啡肽及 β -内啡肽分泌增加, 呈一定量效关系, 相应意义寡核苷酸无抑制作用。提示 IL-1 促进大脑皮层神经细胞脑啡肽及 β -内啡肽分泌作用部分受 Fos 和 Jun 蛋白调控。

关键词 大脑皮层神经细胞, 白细胞介素-1, 阿片肽, c-fos, c-jun, 反义寡核苷酸

* 国家自然科学基金资助项目。收稿日期: 1994-12-15, 修回日期: 1995-03-29